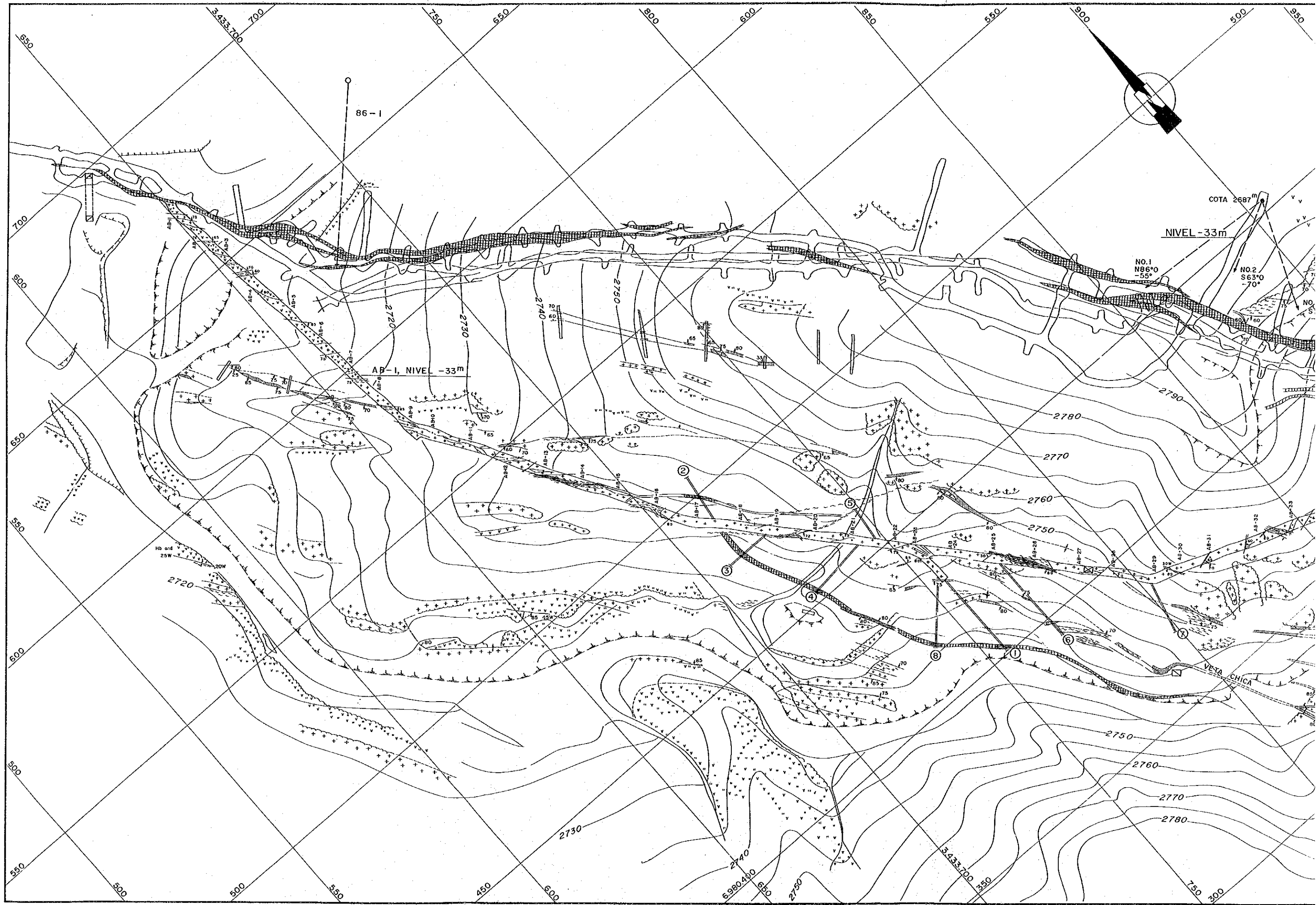
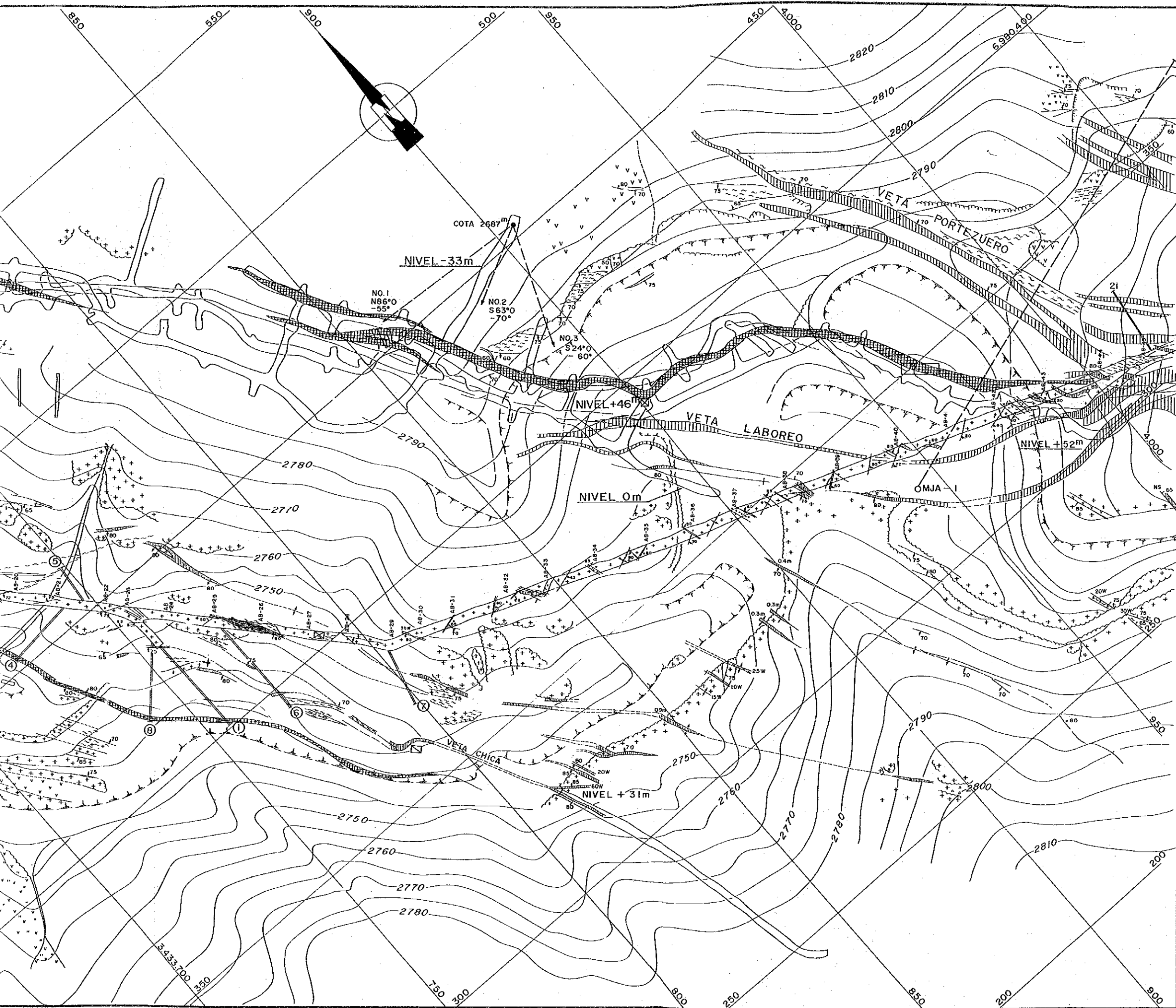


2-3-3 Consideraciones

La exploración por galería de la veta Esperanza se realizó en los estudios de la Fase III y Fase IV. En la parte central de este filón, se reconocieron filones con bonanzas de gran envergadura con un ancho horizontal de 15m en las exploraciones de galería de la parte noreste y los sondeos cortos realizados por YMAD. Desde el centro hacia el sudeste, aunque la dimensión de esta veta se reduce a aproximadamente 4,5m dentro del alcance comprobado por la galería de exploración y los sondeos de las perforaciones MJA-16 y MJA-17, con respecto a las bonanzas de una ley de oro de 32g/t existe una alta posibilidad de existencia de filones prominentes que cubran más del 60% del alcance del filón comprobado por las exploraciones. Para aclarar con mayor detalle las condiciones de mineralización de esta zona, se recomienda proceder a las exploraciones de precisión por medio del sondeo corto.





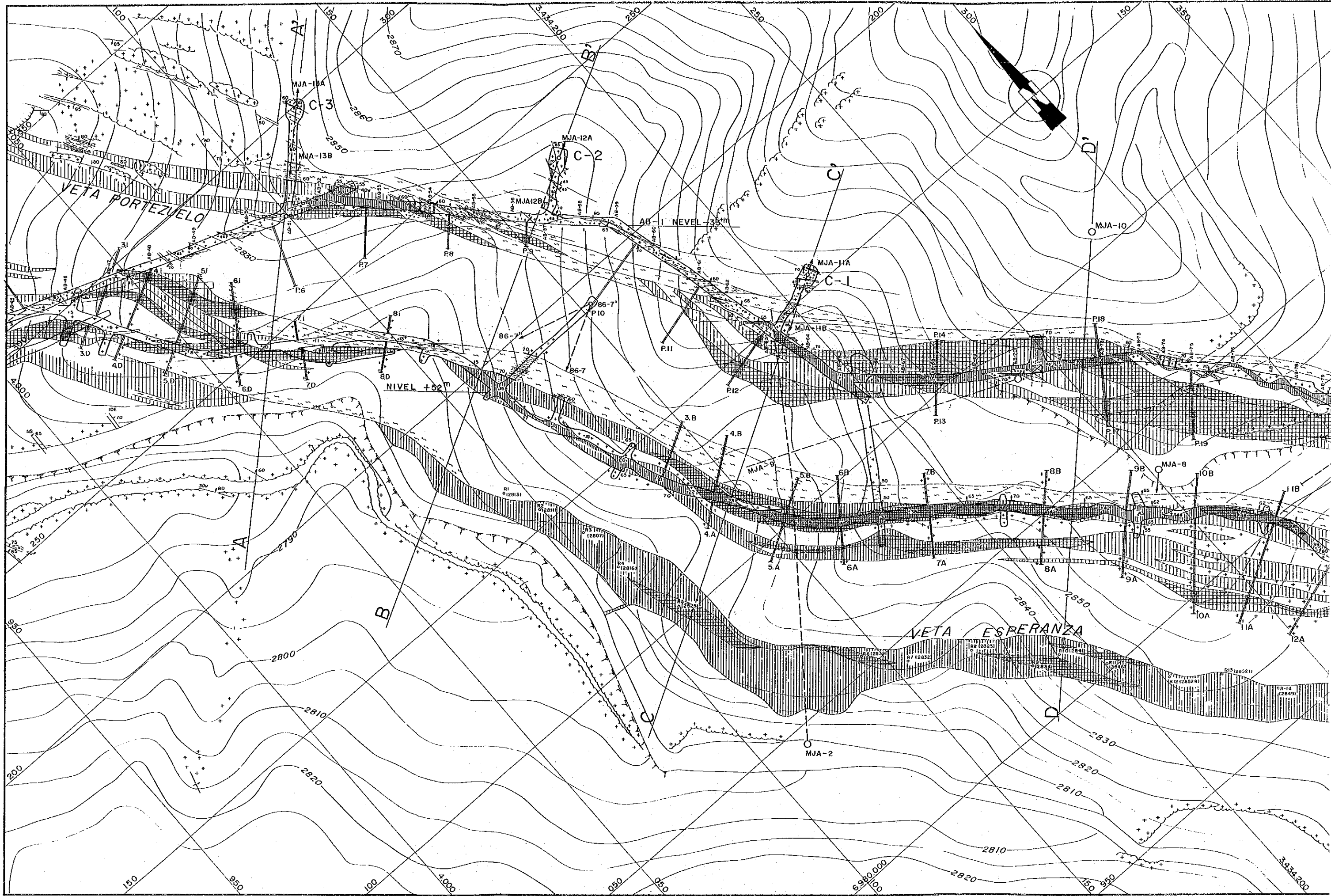
REFERENCIAS

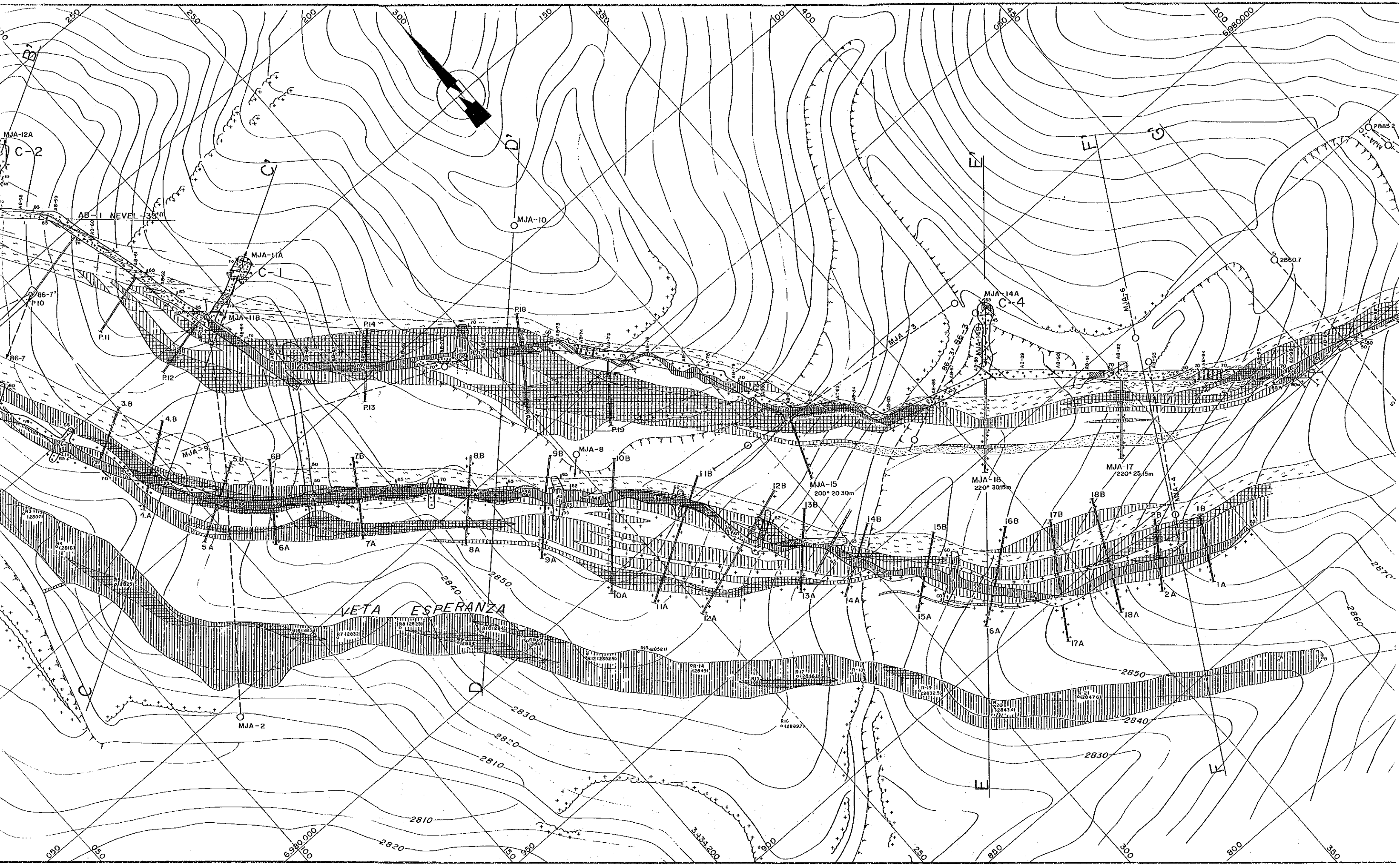
	Monzonite		Zona mineralizada
	Brecha volcanica andesitica		Veta Au ≥ 3 1/1
	Zona brechada		Veta Au ≤ 3 1/1
	Zona argilizada		a : Rumbo b : Inclinación

ABREVIATURAS

Mnox : oxidos de manganeso	pot : potencia
Qz : cuarzo	carb : carbonato
Py : pirita	ys : yeso

Fig. 2-2-1 PLANO GEOLOGICO
DE LA GALERIA AB-1





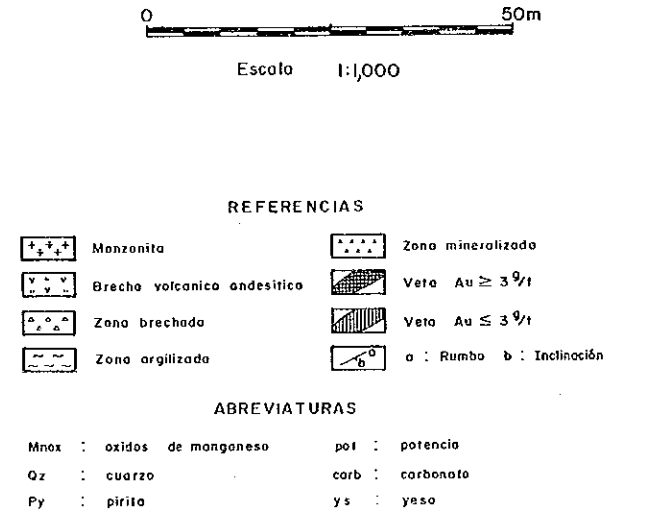
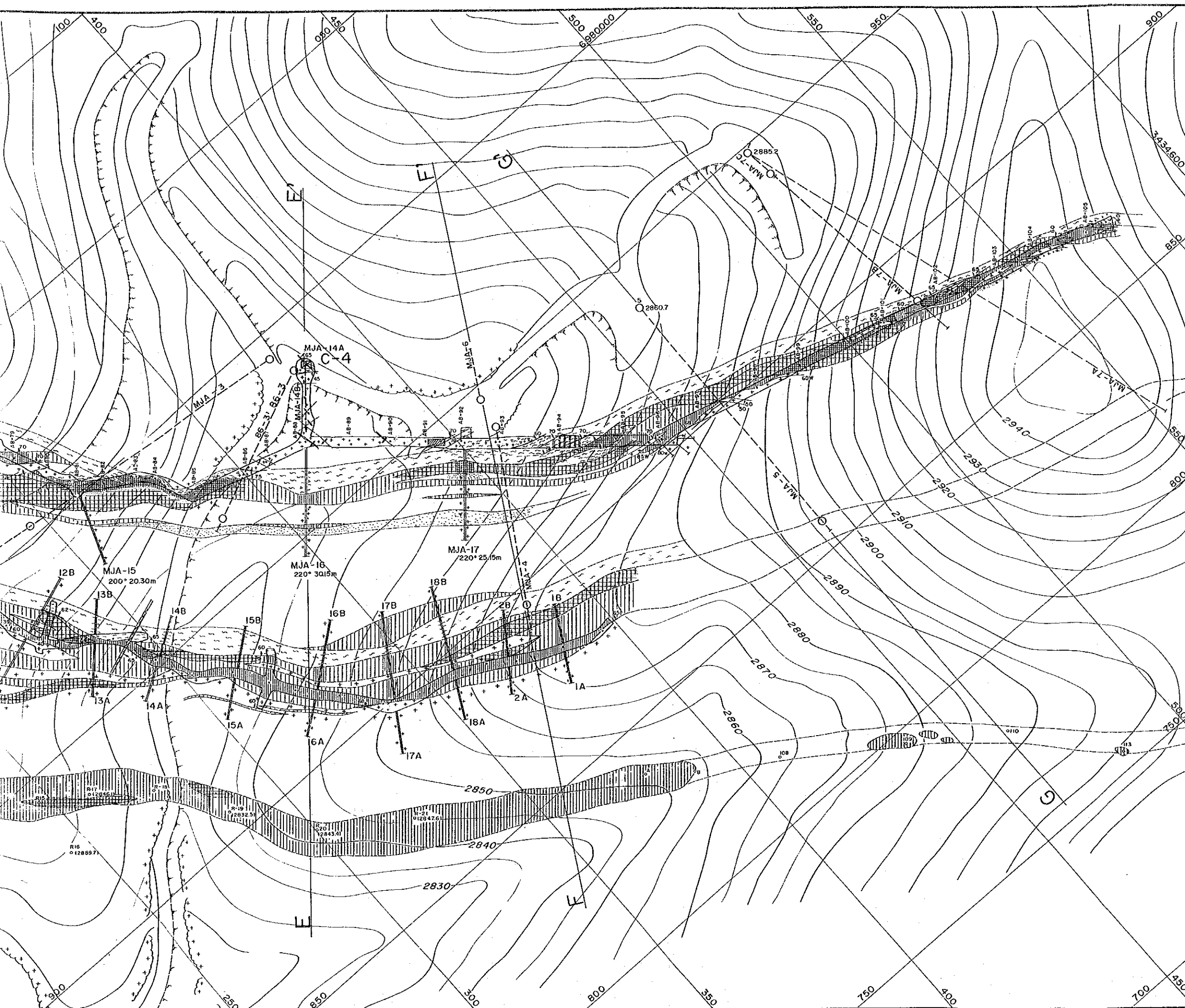
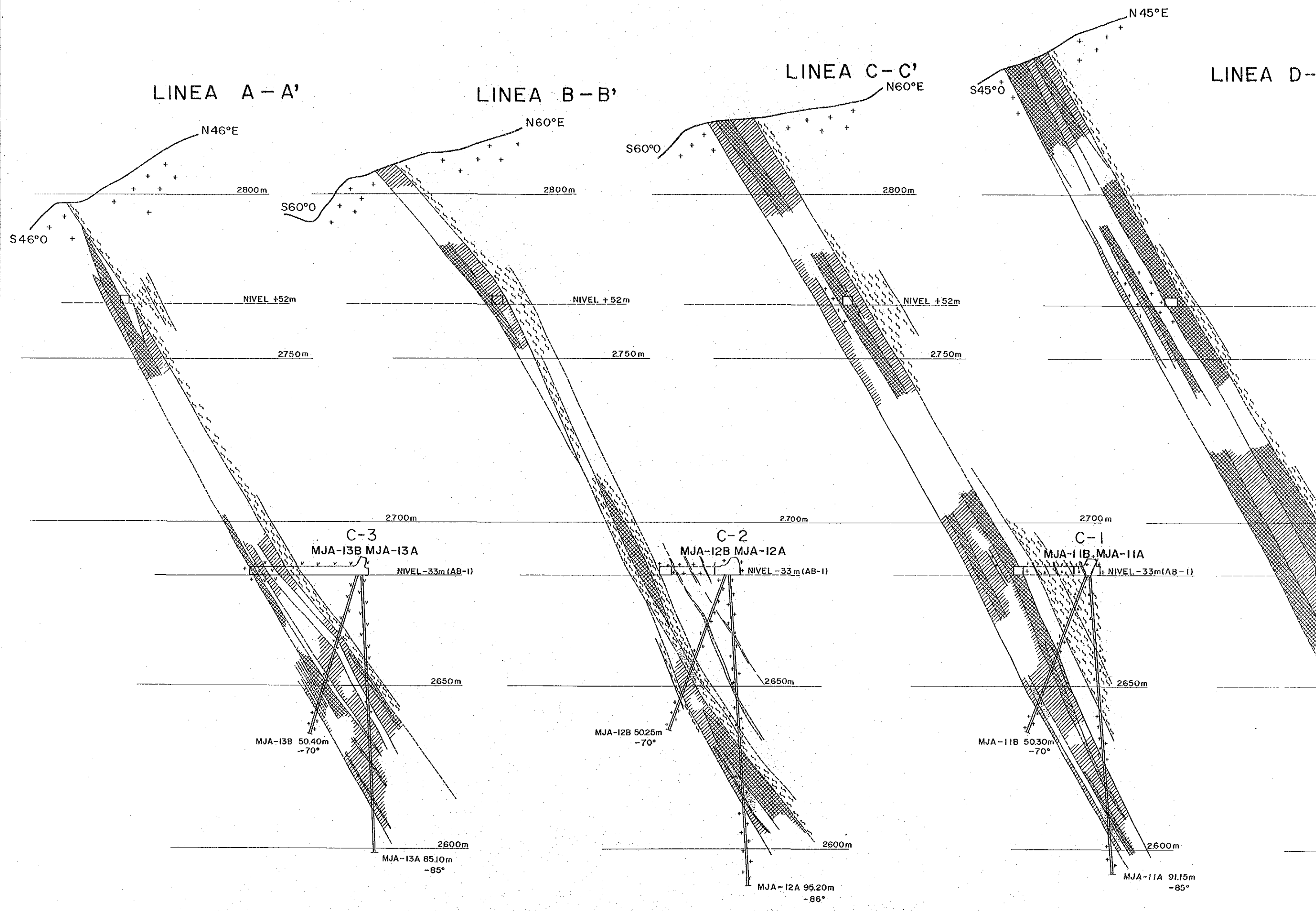
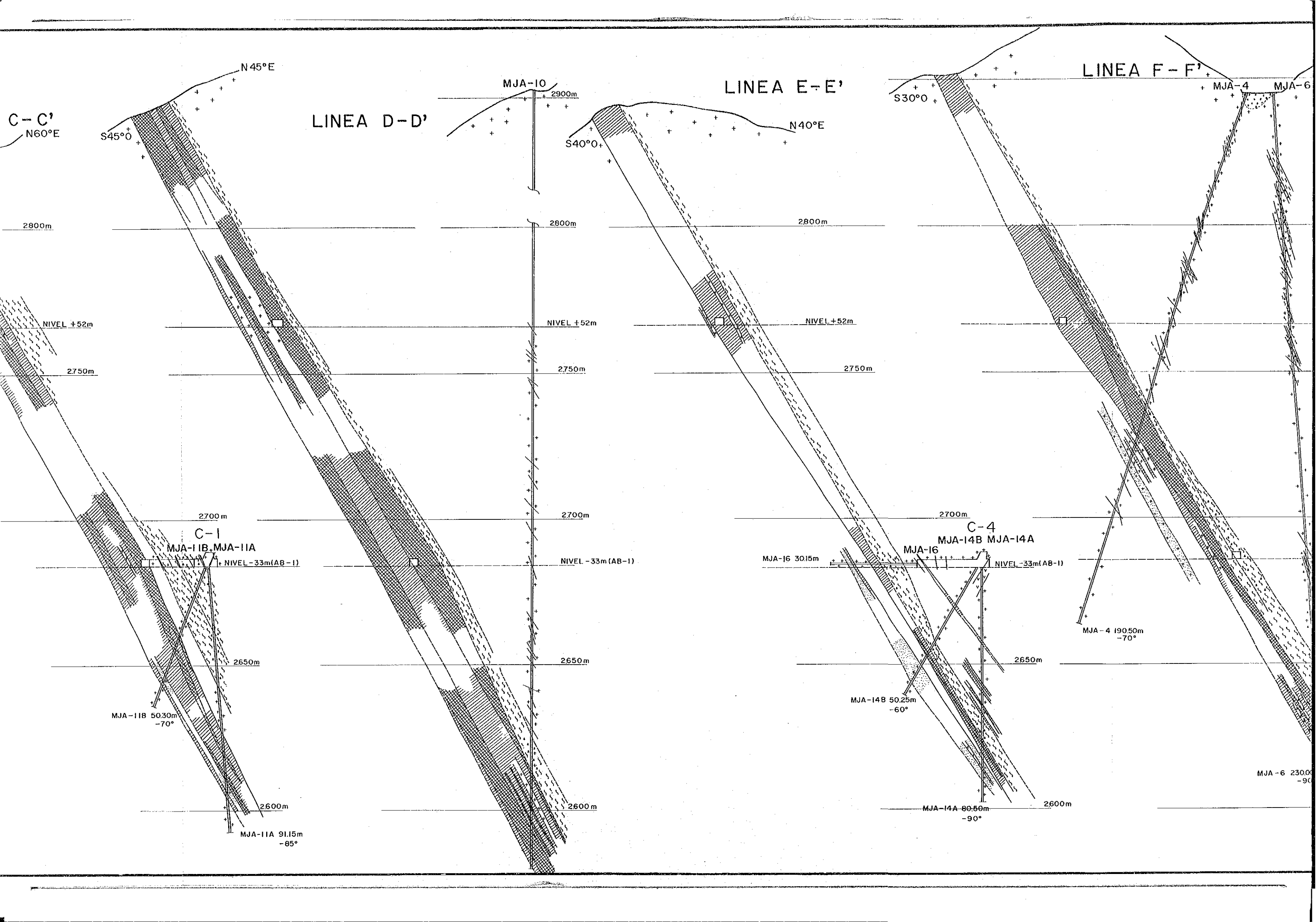
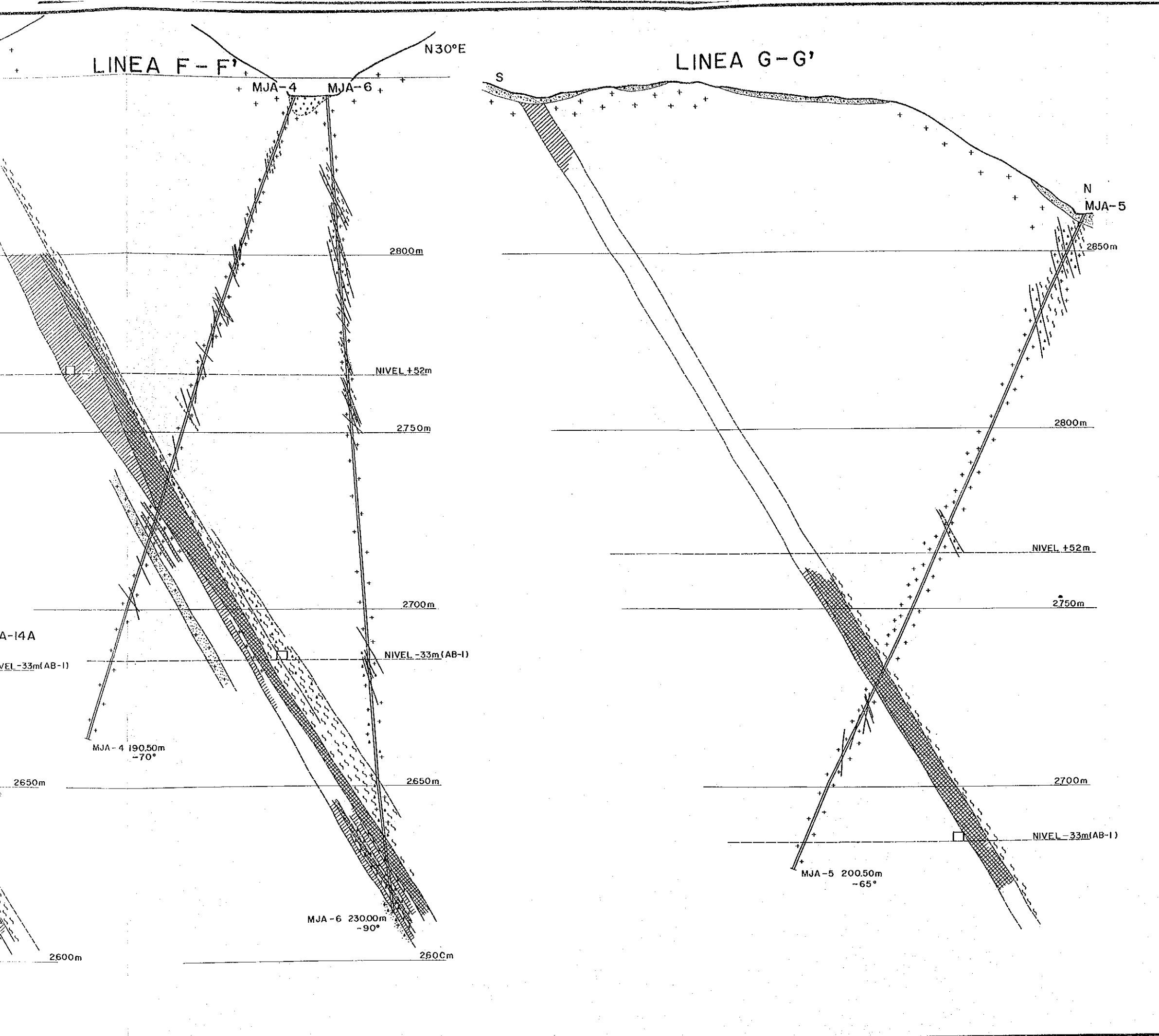


Fig. 2-2-2 PLANO GEOLOGICO DE LA GALERIA AB-1







REFERENCIAS

Monzonita	Zona mineralizada
Brecha volcanica andesitica	Veta Au ≥ 3%
Zona brechada	Veta Au ≤ 3%
Zona argilizada	a: Rumbo b: Inclinación

ABREVIATURAS

Mnox : óxidos de manganeso	pot : potencia
Qz : cuarzo	carb : carbonato
Py : pirita	ys : yeso

Fig. 2-2-3 SECCION GEOLOGICA
DE LA GALERIA AB-1

PARTE III.

CONCLUSIONES Y PROPOSICIONES

CAPITULO 1. CONCLUSIONES

Con motivo de cumplirse este año fiscal, la última fase de los cuatro años previstos para el presente estudio, se realizaron las exploraciones por galería a nivel de -33m con una longitud de 420,7m y 11 perforaciones horizontales y hacia abajo desde el mismo nivel con una longitud de 628,75m. Con estas exploraciones quedaron aclaradas la geología y estado de mineralización al nivel de -33m y partes más profundas (a alrededor del nivel de -90m) de la parte noroeste - centro - sudeste de la veta Esperanza y las partes profundas de la veta Portezuelo.

Aunque se trata aún de una etapa de estimación o pronóstico, sobre la base de los resultados del estudio realizado hasta el presente se ha intentado calcular las reservas desde la superficie hasta el nivel de -130m.

(1) Resultados del cálculo de las reservas

Conforme a los resultados de los estudios realizados hasta el presente y los datos proporcionados por YMAD, el cálculo de las reservas de mineral y ley existente en los cuatro filones del área de Alto de la Blenda fijando como límite inferior de la ley de Au en 3g/t, resulta 1.110.000t con una ley de 6,4g/t de Au y 126g/t de Ag.

<u>Nombre de la veta</u>	<u>Reserva de mineral</u>	<u>Ley del mineral</u>	
		<u>Au (g/t)</u>	<u>Ag (g/t)</u>
Esperanza	785.506t	5,97	102,36
Laboreo	198.388t	7,12	205,82
Portezuelo	126.831t	7,63	147,41
<u>Chica</u>	<u>3.240t</u>	<u>6,51</u>	<u>194,72</u>
Total	1.113.965	6,36	126,17

- (2) Según los estudios por galería a nivel de -33m en la parte sudeste de la veta Esperanza, se comprobaron respectivamente las concentraciones de oro con una ley promedio de 4,9g/t de Au y 139,2g/t de Ag entre 1.017m - 1.044m, una ley promedio de 6,1g/t de Au y 163g/t de Ag entre 1.176m - 1.262m. Especialmente la bonanza captada entre 1.176m - 1.262m, aunque no está comprobado desde la superficie y a nivel de +52m es una parte sin explorar, es un logro importante haberse comprobado la existencia de bonanzas a nivel de -33m.
- (3) Con el sondeo horizontal de la perforación MJA-17 de la parte sudeste de la veta Esperanza, se pudo detectar la bonanza de 1,4m de ancho cierto con una ley de 41,4g/t de Au y 1.150g/t de Ag, comprobándose la continuidad del filón principal cuyo límite no se había determinado por los estudios de galería.
- (4) Debido a que la prolongación de la veta Esperanza hacia el sudeste a nivel de -33m se estrecha bruscamente el ancho de la veta desde las proximidades de 1.272m según los estudios por galería realizados en la presente fase, se estima que la longitud total del filón principal a nivel de -33m es de 550m.

(5) Según los sondeos para determinar la mineralización a niveles más bajos que -33m de la veta Portezuelo, por la perforación MJA-12A realizada en la cámara de sondeo C-2 se pudo captar la bonanza de 5,6m de ancho cierto con una ley promedio de 6,5g/t de Au y 167g/t de Ag en las proximidades del contacto entre la veta Portezuelo y la Veta Esperanza. De acuerdo con el estudio de sondeo correspondiente a las perforaciones MJA-13A y MJA-13B de la parte profunda de la veta Portezuelo realizado en la cámara de sondeo C-3, se detectó un filón de gran envergadura que alcanza a tener un ancho cierto de 20m, pero la ley promedio es baja con 1,1g/t - 1,9g/t de Au y 27g/t - 127g/t de Ag, juzgándose que las variaciones son violentas tanto en el ancho del filón como la ley de las partes profundas de la veta Portezuelo.

(6) Las exploraciones realizadas en la cámara de sondeo C-1 mediante 2 perforaciones de la parte profunda de la parte noroeste de la veta Esperanza y en la cámara de sondeo C-4 mediante 2 perforaciones de la parte profunda de la parte sudeste de la veta Esperanza, señalan leyes relativamente bajas con una ley promedio de 1,5g/t - 2,5g/t de Au y 13g/t - 95g/t de Ag.

CAPITULO 2. PROPOSICIONES PARA EL FUTURO

Según se ha explicado en el párrafo anterior, las reservas determinadas desde el nivel de las afloraciones hasta -130m se estiman en algo más de 1.100.000t con una ley de oro de 6,4g/t y pudo determinarse que son promisorias como objeto de desarrollo.

En cuanto a profundidades mayores que -90m (especialmente a menos del nivel -130m), se encuentra aún sin explorar y se espera que aumenten las reservas mediante la ejecución de las prospecciones.

Como estudios de la siguiente etapa, sería deseable que se realicen las evaluaciones económicas mediante un estudio de factibilidad y se determinen la factibilidad y los métodos del desarrollo después de realizar los estudios de sondeo a niveles de menos de -33m para determinar la mineralización de la parte central - sudeste de la veta Esperanza y los estudios de sondeo a niveles inferiores a -90m (especialmente a menos de -130m).

BIBLIOGRAFIA

Japan International Cooperation Agency and Metal Mining Agency of Japan (1987):
Informe Sobre Exploracion de Minerales del Area de Alto de la Blenda
Republica Argentina Fase I

Japan International Cooperation Agency and Metal Mining Agency of Japan (1988):
Informe Sobre Exploracion de Minerales del Area de Alto de la Blenda
Republica Argentina Fase II

Japan International Cooperation Agency and Metal Mining Agency of Japan (1989):
Informe Sobre Exploracion de Minerales del Area de Alto de la Blenda
Republica Argentina Fase III

Llambia E. J. (1970): Geologia de los Yacimientos mineros de Agua de Dionicio ;
Rev. Asoc. Arg. Min., Petrol. Sedimentol., v. 1, P. 2-32

Malvicini, L. y Llambia E. (1963): Mineralogia y origen de los minerales de
manganeso y sus asociados en Farallon Negro, Alto de la Blenda y Los Viscos.
RAGAT. XVIII, N^o 3 - 4

Roedder, E. (1984): Fluid Inclusions. Reviews in Mineralogy vol. 12, Min. Soc. of
America, Washington D. C.

APENDICE

Ap. 1 LISTA DE MUESTREO DE ROCA Y MENA

(1)

No.	No. de muestra	Tipo de roca	Corte delgado	Corte Pulido	Ensayo por rayos-X	EPMA	Analisis mineral (numero)
1	MJA-11A 63.30m	Veta		P		E	
2	" 79.10m	Monzonita	T				
3	" 90.00m	Monzonita					
4	" 1 ~ 17	Veta					M(17)
5	MJA-11B 29.25m	Veta		P		E	
6	" 50.00m	Monzonita alterada	T				
7	" 1 ~ 16	Veta					M(16)
8	MJA-12A 53.70m	Veta		P		E	
9	" 57.60m	Veta		P		E	
10	" 1 ~ 18	Veta					M(18)
11	MJA-12B 14.20m	Andesita	T				
12	" 1 ~ 10	Veta					M(10)
13	MJA-13A 3.00M	Andesita	T				
14	" 66.80M	Veta		P		E	
15	" 80.14M	Monzonita	T				
16	" 1 ~ 36	Veta					M(36)
17	MJA-13B 35.70m	Veta		P		E	
18	" 1 ~ 21	Veta					M(21)
19	MJA-14A 48.20m	Veta		P			
20	" 72.20m	Monzonita	T				
21	" 1 ~ 17	Veta					M(17)
22	MJA-14 1 ~ 9	Veta					M(9)
23	MJA-15	Veta					M(10)
24	MJA-16	Veta					M(10)
25	MJA-17	Veta					M(11)

No.	No. de muestra	Tipo de roca	Corte delgado	Corte Pulido	Ensayo por rayos-X	EPMA	Analisis mineral (numero)
26	AB-1 1.105m	Monzonita alterada	T				
27	" 12.04m	Brecha volcanica	T				
28	" 1.308m	Monzonita silicificada	T				
29	" F 377	Veta		P	×	E	
30	" F 395	"		P		E	
31	" F 459	"			×		
32	" F 485	"		P	×	E E	
33	" F 495	"		P	×	E	
34	" F 500	"		P	×		
35	" F 524	"		P	×	E	
36	" F 302 ~F 603	"					M(302)

Abreviatura

EPMA:Microsonda electronica

No. de muestra	Tipo de roca	Fenocrystal										Matriz				Minerales de alterado				Observaciones								
		Principales					Accesorios					plagioclasa	cuarzo	biotita	minerales de silicato	minerales de opaco	sericita	cuarzo	minerales de carbonato		clorita	epidota	óxidos de hierro	tremolita				
		Plagioclasa	feldespato potásico	cuarzo	biotita	clinopiroxenita	albita	fragmentos de rocas	blenda	circón	minerales de carbonato														sericita	clorita	apatita	epidota
MJA-12B 14.20m	Andesita alterada					3								2				2			3	2						<p>Textura hialopilítica</p> <p><u>Principales</u> Plagioclasa: Mucha cantidad, tamaño de -0.3mm, hipidiomórfico, tabular, macla polisintética, textura fluidal, rara vez se encuentra fenoclasto de tamaño de 1-2.3mm; reemplazado a albita, sericita, cuarzo y calcita. Cuarzo: Poca cantidad, tamaño de 0.05-2.0mm, alotriomorfo, granular, se presentan llenando las drusas, textura reemplazada, coexiste con clorita, presenta extinción ondulada débil. Sericita: Poca cantidad, tamaño de -0.07mm, alotriomorfo, granular, forma de escamas, en su mayoría reemplaza a plagioclasa. Albita: Cantidad media, tamaño de -0.15mm, alotriomorfo, tabular, textura reemplazada irregular, plagioclasa pseudomorfa reemplazada, también reemplaza la matriz. Clorita: Poca cantidad, tamaño de -0.05mm, alotriomorfo, agregaciones fibroso y radial, color verde claro. Carbonatos: Poco a mediana cantidad, tamaño de -0.37mm, alotriomorfo, existen vetillas y reemplazados irregularmente.</p> <p><u>Accesorios</u> Minerales opacos: Poca cantidad, tamaño de -0.4mm, idiomórfico, granular color negro, tiene forma de pirita. Vetillas de clorita, calcita y cuarzo: Poca cantidad, tamaño de 0.05-2.0mm, alotriomorfo, ovalado, globular, reemplazadas principalmente cuarzo con extinción ondulada y poca cantidad de clorita y calcita. Características: Presenta una textura hialopilítica compacta, reemplazados totalmente con minerales secundarios como sericita, cuarzo, clorita, albita y calcita.</p>

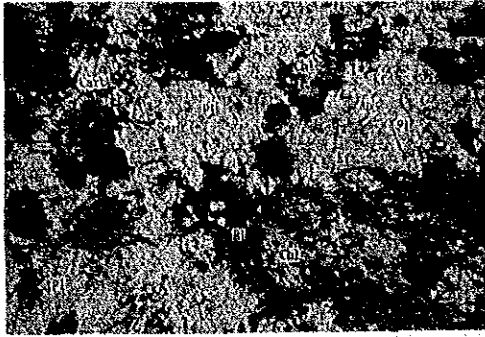
Cantidad : 4 abundante 3 medio 2 poco 1 escaso

Ap. 3 FOTOMICROGRAFIAS DE LAS SECCIONES

No.	No. de muestra	Tipo de roca
(1) (2)	MJA-11A 79.10m	Monzonita
(3) (4)	MJA-11A 90.00m	Monzonita
(5) (6)	MJA-11B 50.00m	Monzonita alterada
(7) (8)	MJA-12B 14.20m	Andesita alterada
(9) (10)	MJA-13A 3.00m	Andesita alterada
(11) (12)	MJA-13A 80.14m	Monzonita
(13) (14)	MJA-14A 72.20m	Andesita alterada
(15) (16)	AB-1 1105m	Monzonita alterada
(17) (18)	AB-1 1204m	Brecho silificada
(19) (20)	AB-1 1308m	Roca silificada

Referencias

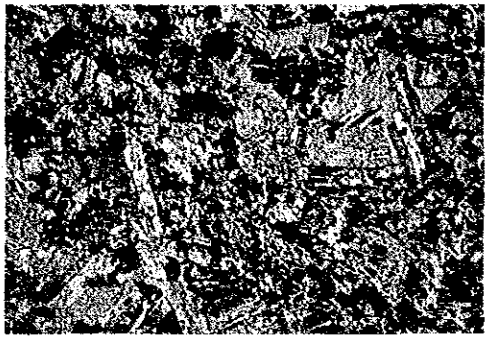
Ap	apatita
Bi	biotita
Carb	minerales de carbonato
Chl	clorita
Cpx	piroxeno
Opq	minerales de opaco
Pl	plagioclasa
Qz	cuarzo
Ser	sericita
Kf	feldespato potasico
Rf	fragmento de roca
Sp	bienda



0 0.5mm

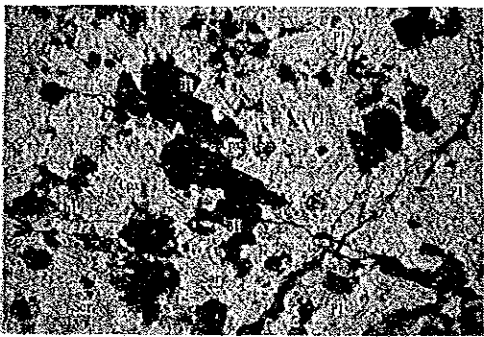
(1) MJA-11A 79.10m

Lamprófidu alterada
hidrotermal totalmente.
Se puede observar una
textura poiquilítica
entre feldespatu
potásico y plagioclasa.



0 0.5mm

(2) MJA-11A 79.10m



0 0.5mm

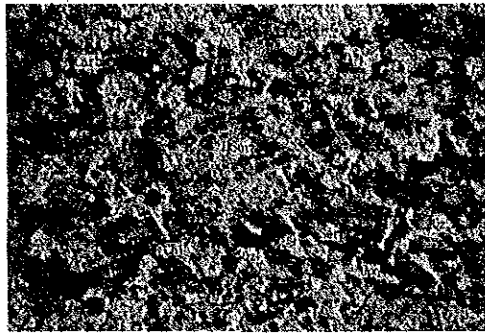
(3) MJA-11A 90.00m

Lamprófidu de grano
medio y holocristalina.
Aún se puede observar
alteración debil,
desarrolla una clara
textura intergranular.



0 0.5mm

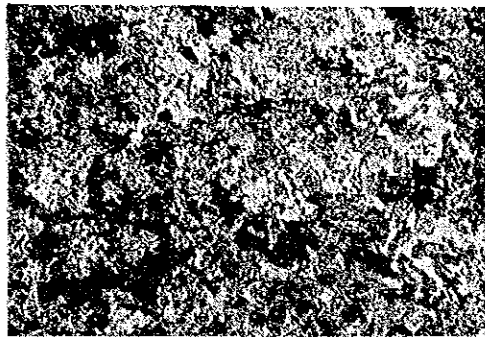
(4) MJA-11A 90.00m



0 0.5mm

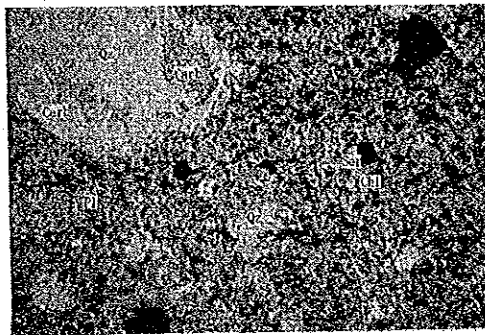
(5) MJA-11B 50.00m

Monzonita alterada que no presenta restos de mineral primario. Presencia de silicificación, sericitización, cloritización y carbonatización en abundancia.



0 0.5mm

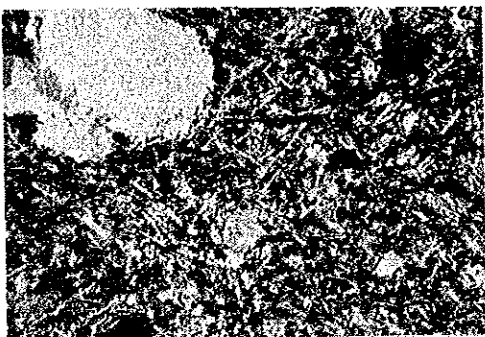
(6) MJA-11B 50.00m



0 0.5mm

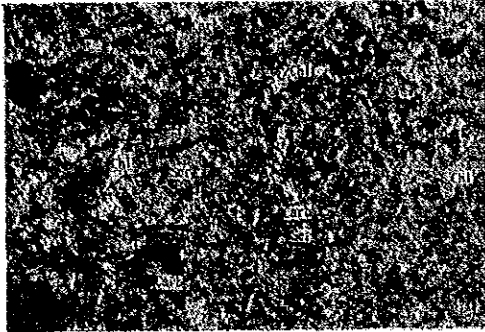
(7) MJA-12B 14.20m

Andesita alterada de grano fino y compacto de textura vidriosa fluidal. Se observa alineamientos de plagioclasa en la matriz debilmente.



0 0.5mm

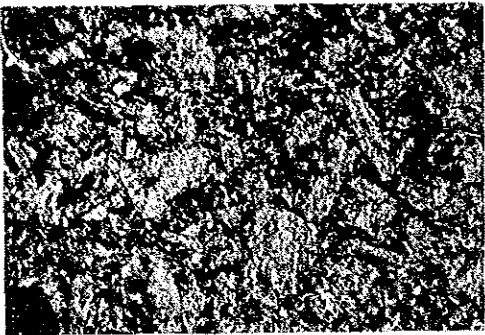
(8) MJA-12B 14.20m



0 0.5mm

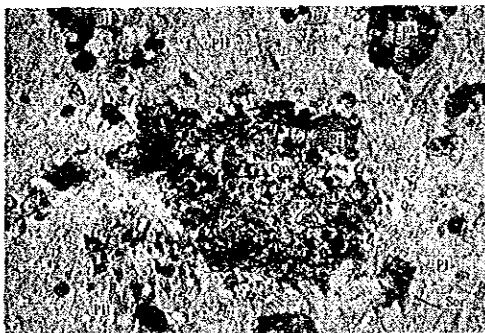
(9) MJA-13A 3.00m

Andesita alterada con fuerte cloritización y sericitificación, aunque todavía presenta una textura porfídica.



0 0.5mm

(10) MJA-13A 3.00m



0 0.5mm

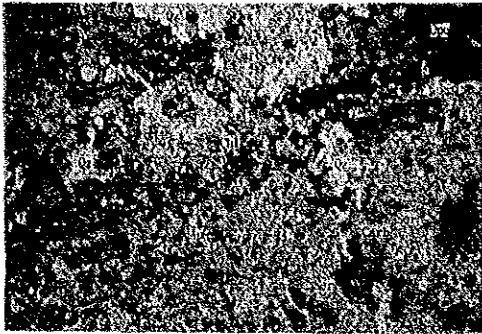
(11) MJA-13A 80.14m

Lamprófito de tamaño medio, holocristalino, textura intergranular. Presentan minerales máficos como clinopyroxeno y biotita.



0 0.5mm

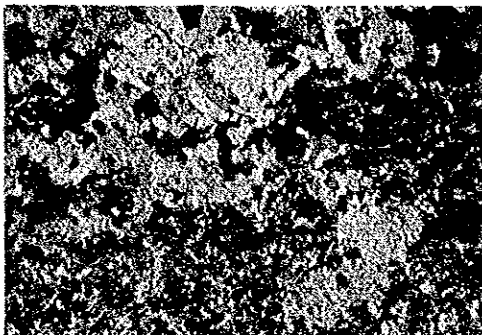
(12) MJA-13A 80.14m



0 0.5mm

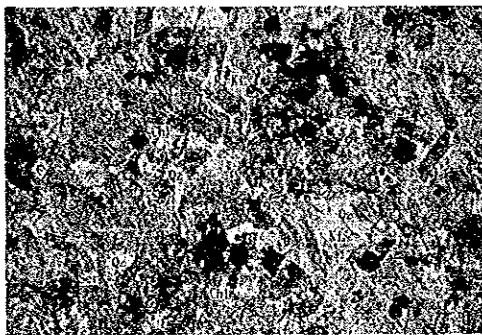
(13) MJA-14A 72.20m

Es andesita alterada hidrotermal en su totalidad aunque queda la textura original. Desarrolla vetillas de cuarzo y carbonatos.



0 0.5mm

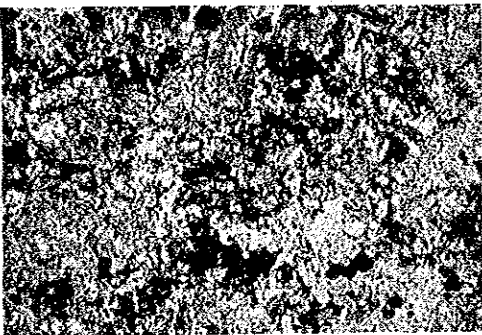
(14) MJA-14A 72.20m



0 0.5mm

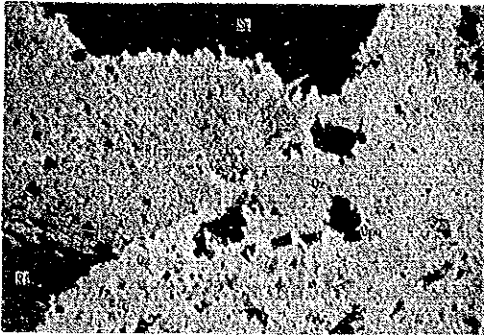
(15) AB-1 1,105m

Aunque queda la texture original, la mayoría de los minerales están reemplazados por minerales secundarios como sericita etc.



0 0.5mm

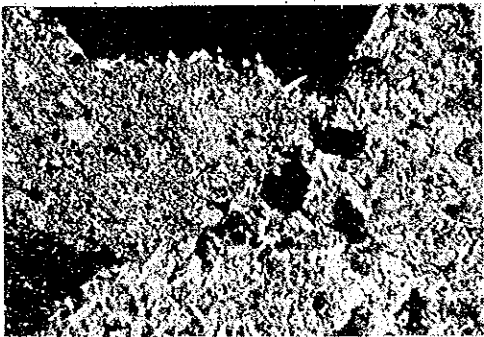
(16) AB-1 1,105m



0 0.5mm

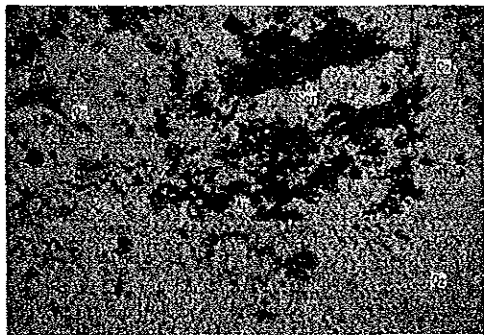
(17) AB-1 1,204m

Brecha silicificada que
presenta mineralización
de sulfato como blenda
etc.



0 0.5mm

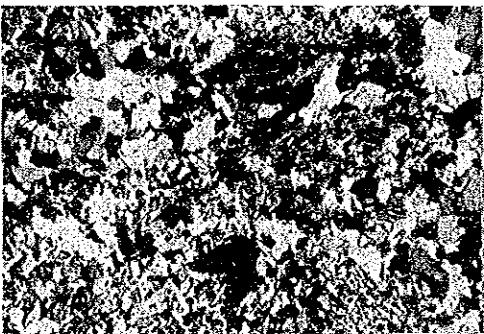
(18) AB-1 1,204m



0 0.5mm

(19) AB-1 1,308m

No se puede observar
la textura de roca
original y desarrolla
notable silicificación.
Se observa poca cantidad
de minerales secundarios
como sericita y clorita.



0 0.5mm

(20) AB-1 1,308m

Ap. 4 RESULTADOS DE LOS ESTUDIOS DE LAS SECCIONES PULIDAS

No. de muestra Minerales Sim- bolo	MJA-11A, 63.30m		MJA-11B, 29.25m		MJA-12A, 53.70m		MJA-12A, 57.60m		MJA-13A, 66.80m	
	Canti- dad	Descripción	Canti- dad	Descripción	Canti- dad	Descripción	Canti- dad	Descripción	Canti- dad	Descripción
Oro nativo Au	1	2-13µm 5-6 gránulos					1	3-5µm diseminada	1	3-7µm 5-6 gránulos
Electrum El							1	10-20µm diseminada		
Argentita Arg	1	2-50µm diseminada una parte secundaria					1	5-20µm diseminada una parte dentro de Goë secundaria	1	5-30µm diseminada una parte alrededor de Sp. secundaria
Pearceita Pc			1	2-70µm diseminada						
Polibasita Poly										
Estrome- yerita Stro	1	reemplazada a Cp secundaria					1	alrededor de Pc y Cv secundaria	1	alrededor de Sp secundaria
Calcocita con plata Cc										
Covelina con plata Cv	1	alrededor de Cp y Sp secundaria					1	alrededor de Pc y Cv secundaria	1	alrededor de Sp secundaria
Tetraedrita con plata Td							1	2-20µm diseminada	1	alrededor de Sp secundaria

Cantidad 4 Abundante 3 Medio 2 Poco 1 Escaso

No. de muestra	MJA-13B, 35.70m		MJA-14A, 48.20m		AB-1, F377		AB-1, F395		AB-1, F485	
	Minerales	Sim-bolo	Canti-dad	Descripción	Canti-dad	Descripción	Canti-dad	Descripción	Canti-dad	Descripción
Oro nativo	Au								1	
Electrum	El						1	3-5 μ m dentro de Py		
Argentita	Arg				1	25-35 μ m diseminada			2	alrededor de Sp secundaria
Pearceita	Pc								2	10 μ m-0.2mm coexiste con Sp y Gn
Foibasita	Poly								2	10 μ m -0.2mm coexiste con Sp y Gn
Estrome-yerita	Stro									
Calcocita con plata	Cc									
Covelina con plata	Cv								2	alrededor de Sp Gn y Cp secundaria

Cantidad: 4 Abundante 3 Medio 2 Poco 1 Escaso

No. de muestra		AB-1, F495		AB-1, F524		AB-1, F524	
Minerales	Simbolo	Cantidad	Descripción	Cantidad	Descripción	Cantidad	Descripción
Oro nativo	Au	1	5-15µm. diseminada dentro de Py				
Electrum	El	1	2-50µm dentro de Py y Goe	1	10-15µm coexiste con Poly y Sp		
Argentita	Arg	1	5-30µm diseminada coexiste con Py	1	20 m diseminada		
Pearceita	Pc						
Polibasita	Poly	1	5-30µm coexiste con Py y Cp			1	5-50µm coexiste con Cp
Estromeyerita	Stro						
Calcocita con plata	Cc						
Covelina con plata	Cv			1	reemplaza a Cp secundaria	1	reemplaza a Cp secundaria
Tetraedrita con plata	Td					1	5-50µm coexiste con Poly

Cantidad: 4 Abundante 3 Medio 2 Poco 1 Escaso

No. de muestra	MJA-11A, 63.30m	MJA-11B, 29.25m	MJA-12A, 53.70m	MJA-12A, 57.60m	MJA-13A, 66.80m		
Minerales	Sim-bolo	Canti-dad	Descripción	Canti-dad	Descripción	Canti-dad	Descripción
Tennantita con plata	Tn						
Calcopirita	Cp	1	5-20 μ m diseminada			1	15 μ m un gránulo
Galena	Gn					2	20-70 μ m diseminada
Esfalerita	Sp	1	5-25 μ m diseminada			1	10-100 μ m idiomórfico diseminada
Pirita	Py	1	5-20 μ m idiomorfo diseminada			2	
Oxido de manganeso	Mn	2		2			
Mineral de Ag-Fe Ag-Fe-S		1	reemplazada a Cp secundaria				reemplazada a Cp secundaria
Goethita	Goe			1			

Cantidad: 4 Abundante 3 Medio 2 Poco 1 Escaso

No. de muestra	MJA-13B, 35.70m	MJA-14A, 48.20m	AB-1, F377	AB-1, F395	AB-1, F485
Minerales Simboles	Cantidad	Cantidad	Cantidad	Cantidad	Cantidad
	Descripción	Descripción	Descripción	Descripción	Descripción
Tetraedrita Td con plata					2 10µm-0.1mm coexiste con Sp, Gn y Cp
Tennantita Tn con plata					2 10µm-0.1mm coexiste con Sp, Gn y Cp
Calcopirita Cp	2 5µm-0.5mm diseminada	2 coexiste con Cp	1 5-10µm 2 gránulos		2 10µm-0.1mm coexiste con Sp
Galena Gn	2 5µm-0.5mm diseminada	1 20-50µm dentro de Py		2 alrededor y dentro de Py	3 10µm-0.2mm coexiste con Sp
Esfalerita Sp	2 5µm-0.5mm diseminada	2 50µm-0.2mm diseminada		2 alrededor y dentro de Py	3 20-1.0mm diseminada
Pirita Py	2 5µm-0.5mm idiomórfico diseminada	3 5µm-0.5mm idiomórfico diseminada		2 5µm-0.5mm idiomórfico diseminada	3 10µm-0.5mm idiomórfico diseminada
Oxido de manganeso.				2	
Mineral de Ag-Fe Ag-Fe-S					
Goethita Goe					

Cantidad: 4 Abundante 3 Medio 2 Poco 1 Escaso

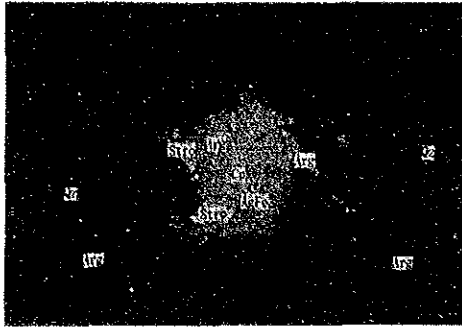
No. de muestra	AB-1, F495		AB-1, F524		AB-1, F524		Cantidad	Descripción
	Minerales Sim-bolo	Canti-dad	Descripción	Canti-dad	Descripción	Canti-dad		
Tennantita con plata	Tn	2						
Calcopirita	Cp	2	5-50 μ m diseminada	2	5 μ m-0.2mm diseminada	2	5 μ m-0.2mm diseminada	
Galena	Gn							
Esfalerita	Sp	1		1	10 μ m-0.2mm coexiste con Cp	2	5 μ m-0.2mm diseminada	
Pirita	Py	2	5-50 μ m idimórfico diseminada	2	5-50 μ m idimórfico diseminada	2	5 μ m-0.2mm idimórfico diseminada	
Oxido de manganeso	Mn	2						
Mineral de Ag-Fe Ag-Fe-S								
Goethita	Goe	1	reemplaza a Py(?) secundaria	2		1		

Cantidad: 4 Abundante 3 Medio 2 Poco 1 Escaso

Ap. 5 FOTOMICROGRAFIAS DE LAS SECCIONES PULIDAS

Referencias

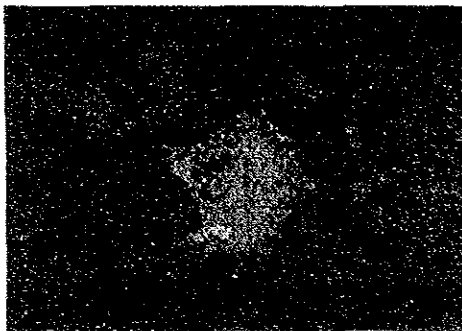
Au	: Oro nativo	Pc	: Pearceita
Bl	: Blectrum	Rh	: Rodocrosita
Arg	: Argentita	Stro	: Bstomeyerita
Poly	: Polibasita	Tn	: Tennantita
Td	: Tetraedrita	Qz	: Cuarzo
Cc	: Calcosena	Cal	: Calcita
000	: Galena		
Sp	: Blenda		
Cp	: Calcopirita		
Cv	: Covellina		
Mn	: Oxidos de mangneso		
Py	: Pirita		
Goe	: Goethita		
AgFe	: Mineral de Ag-Fe-S		
G	: Mineral de gonga		
Man	: Manganita		
Pyr	: Pirolusita		



0 0.04mm

(1) MJA-11A 63.30m

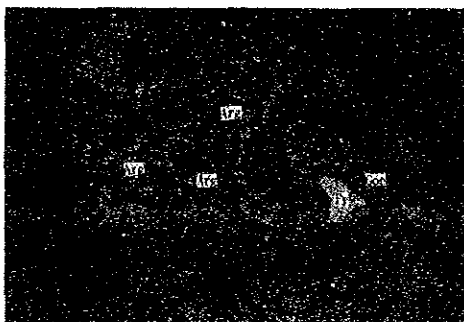
Mineral de Ag-Fe-S,
argentita y estromeyerita reemplazan a calcopirita.
Area de EMPA No. 1.



0 0.04mm

(2) MJA-11A 63.30m

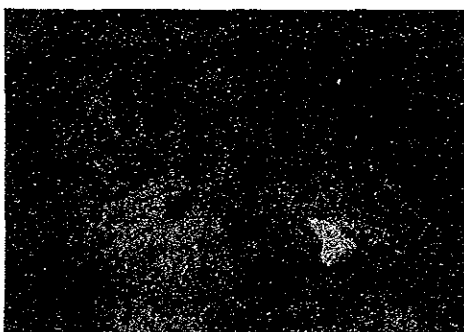
Fotomicrografías de
aguafuerte ligera lo mismo
que arriba
Argentita cambio su color
a marrón-negro por
aguafuerte ligera.



0 0.04mm

(3) MJA-12A 57.60m

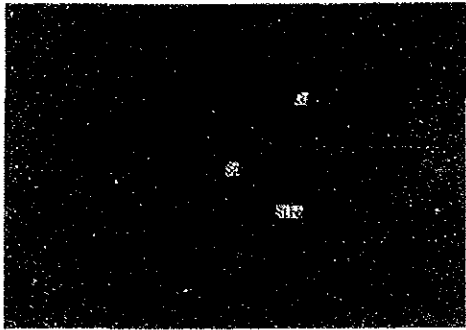
Argentita reemplaza a
pirita en goethita.



0 0.04mm

(4) MJA-12A 57.60m

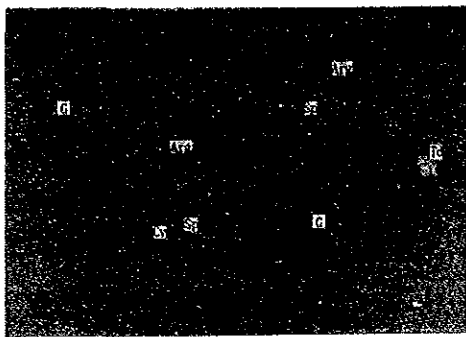
Fotomicrografías de
aguafuerte ligera lo mismo
que arriba. Argentita
cambió su color a marrón
por aguafuerte ligera.



0 0.01mm

(5)MJA-13A 66.80m

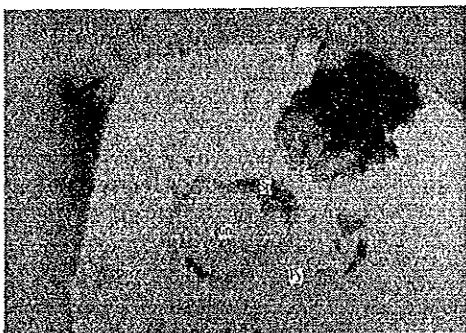
Estromeyerita y calcocita
con plata se envuelve a
blenda.
Area de EPMA No. 5.



0 0.1mm

(6) MJA-13A 66.80m

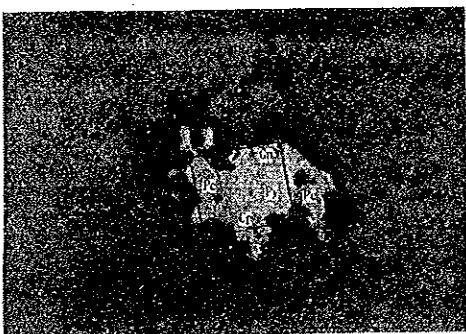
Argentita y covelina con
plata se envuelve a
blenda.



0 0.2mm

(7) MJA-13A 66.80m

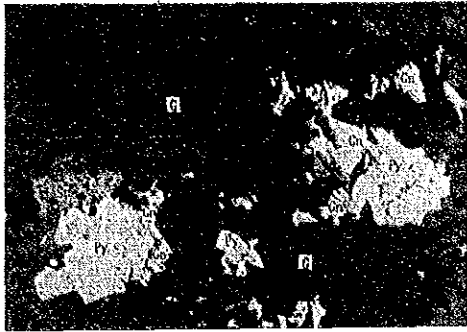
Galena y blenda en
pirita.



0 0.1mm

(8) MJA-13B 35.70m

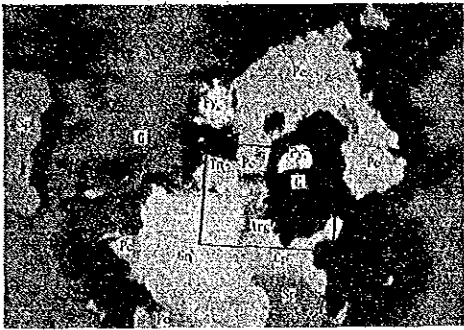
Calcopirita, pearceita (?)
y galena se presentan
alrededor de pirita.
Area de EPMA No. 6.



0 0.2mm

(9) MJA-13B 35.70m

Galena y blenda se presentan alrededor de pirita.

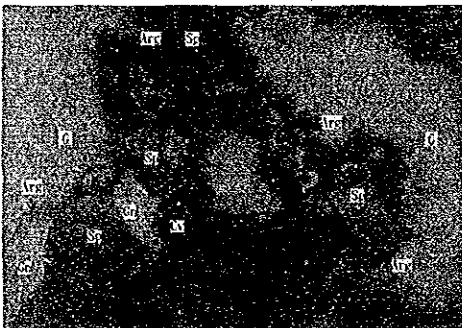


0 0.1mm

(10) AB-1 F-485

Pearceita (?), tennantita con plata y argentita coexisten con galena, calcopirita y blenda.

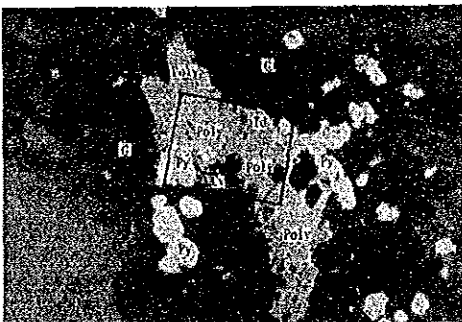
Area de EPMA No. 9.



0 0.01mm

(11) AB-1 F-485

Argentita y covelina circundan alrededor de blenda y galena como una membrana.

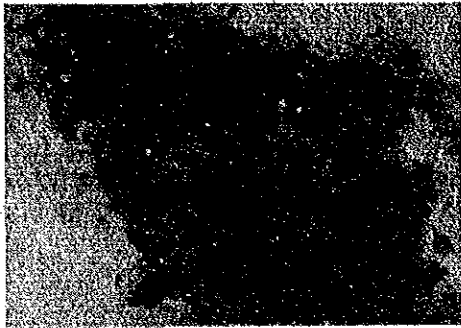


0 0.1mm

(12) AB-1 F-485

Polibasita, tetraedrita con plata y covelina con plata existen alrededor de pirita.

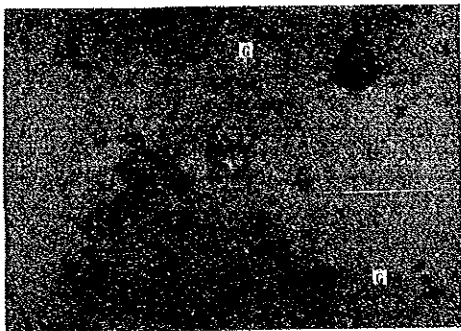
Area de EPMA No. 10.



0 0.1mm

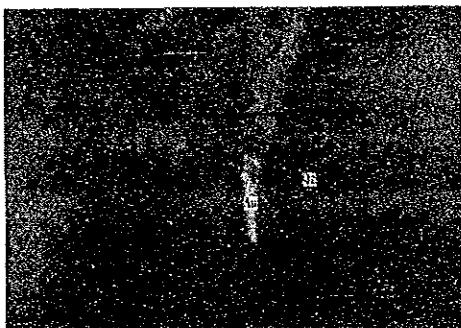
(13) AB-1 F-485

Fotomicrografías de nicoles cruzados lo mismo que arriba. Polibasita presenta anisotropismo.



0 0.2mm

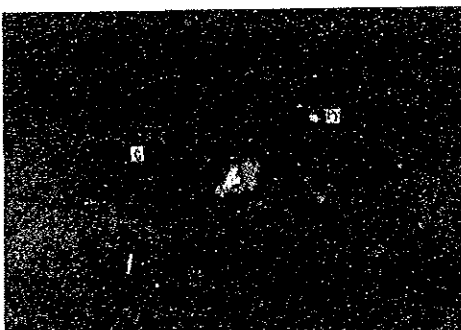
(14) AB-1 F-495



0 0.2mm

(15) AB-1 F-495

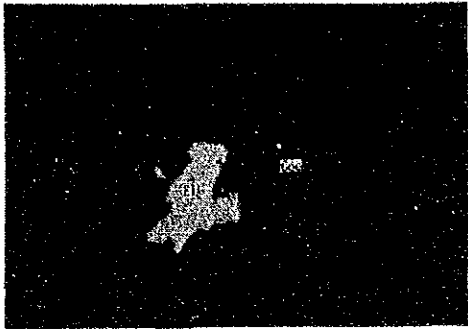
Ampliación del cuadro indicado arriba. Oro nativo de tamaño de mas o menos $15\mu\text{m}$ en cuarzo. Area de EPMA No. 11.



0 0.2mm

(16) AB-1 F-495

(17) AB-1 F-495



Ampliación dentro de
cuadro indicado arriba.
Electrum de tamaño de mas
o menos $50\mu\text{m}$. coexiste
con goethita.

0 0.04mm

A horizontal scale bar with a vertical tick mark at the left end labeled '0' and a vertical tick mark at the right end labeled '0.04mm'.

